

II-27 海岸護岸近傍の海底変形について

旭川土木現業所富良野出張所(正) 大井立也
 北海道大学工学部(正) 佐伯 浩
 北海道工業大学(正) 尾崎 晃

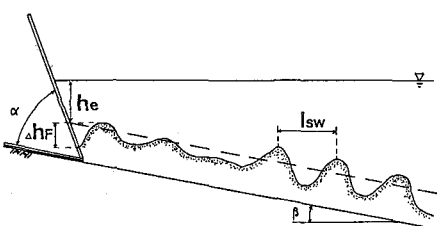
1. 緒論 我が国は長い海岸線によって囲まれ、人口と富の大半が海岸に集中している。しかし海岸の利用・開発が進み、人口や産業が海岸に集中していくと、海岸の保全や防護がますます重要となるてくる。この海岸線を守るために海岸護岸や海岸堤防が水際線の進退を物理的に阻止するためには建設されてきた。この海岸堤防や護岸自体が砂の移動を制御して海岸侵食を防止するような機能を持っているかどうか未だ不明な点が多く、護岸を設置したことによって、かえって前浜の消矢が助長され、洗掘や侵食が起り、大きな海岸災害が発生した例もいくつか報告されている。そこで本研究は任意の位置に建設した護岸に侵食型や堆積型の波をあて、いかなる場合に局所洗掘や侵食が起るか、との関係づけを目的とし、それに合せて移動床における碎波限界や波の変形を測定した。また本研究は汀線近傍における護岸の機能を調べる事が目的であるので碎波点より岸側に構造物を設置した。さて、海岸護岸や堤防の法先の洗掘に関する過去の研究成果をみると、との全てが二次元水槽を用いた実験結果に基づいている。榎木・川崎は直立壁前面の洗掘深△hをとりあげ、関係する要素を用いて無次元量を作り、粘性効果を省略して次式を得た。

$$\Delta h / H_0 = (\pm T, H_0 / L_0, d / H_0, h_0 / H_0) \quad (1)$$

上式において、 H_0 、 L_0 、 h_0 は沖波の波高、波長、水深を示し、 T は波の周期、 d は起波してから経過時間、 d は砂の粒径である。また、 h_0 / H_0 によって洗掘形状のタイプが4つに分けられる事を提案した。これに対して佐藤・田中・入江・川崎等の結果をもとに実験を行い、洗掘の形式が4つに分類される事と正常海浜と暴風海浜の洗掘特性を調べ、正常海浜では最大洗掘深の最大値は巻き波の落下点付近でおり、暴風海浜では最大洗掘深を示す形状がW型となる事を示した。さらに榎木は反射率を洗掘の解説のパラメーターの一つとして導入し、反射率を小さくするような条件にしてやれば、ある程度洗掘を小さくする事ができるとしたし、そのため複合断面を有する海岸堤防についてこの実験を行い、この断面が洗掘を少なくするための合理的な堤防断面であると推定した。細井・荒川は波や底質粒径を変える事により堤防前面の、特に汀線より岸側における砂の移動についてこの実験を行った。その他、和田・西村・鈴井の研究、榎木・高畠の研究と山・野田・岩佐の研究が報告されている。これらの研究は、堤脚部の洗掘の形状、洗掘や侵食に影響を及ぼすパラメーターの実験が主であるが、本研究は護岸堤防近傍に堆積が起るかをひとと段階で調査する事と、護岸近傍の波の変形特性を明らかにしたものである。

2. 実験装置と実験の方法 実験は長さ24.0m、幅0.6m、深さ1.0m前面ガラス張鉄製水路で行われた。図-1に示すように、水底勾配βは $\beta = 1/30$ で後金剛板の上に50%通過粒径($d_{50} = 0.033\text{cm}$)の砂を18cm厚に敷きつめてある。護岸の法面勾配αは任意に変えられる事ができる。前述したように初期海底勾配を1/30として、一定の波を10~13時間作用させて平衡勾配を作る。次に所定の位置に護岸を設置する。その後、波をあて、時々波を止めて海底地形の時間変化を測定する。一般に、洗掘は初期に急速に起るので、測定間隔を最初は数分間隔とし、次第にその間隔を長くして測定を行った。このようにして洗掘形状及び洗掘深△hが定常状態になるまで波を作用させた。その時間は5~9時間であった。また、地形変化と同時に波高分布の時間変化を測定し、また1時間おきに反射率の測定を行った。海底変形に関する実験では、波の選択が重要である。海底の安定形状と波の条件を最初に調べたのは

図-1



J.W. Johnson であった。彼は入射波の沖波波形勾配 H_0/L_0 により海浜変形形が二つのパターンに分けられる事を報告した。 $H_0/L_0 > 0.025 \sim 0.030$ において bar 型海浜(沿岸砂州が発生する暴風(海浜)が発生し, $H_0/L_0 < 0.025 \sim 0.030$ において Step 型海浜(沿岸砂州が発生せず, 前浜付近に堆積が発生する正常海浜)が表わされるとした。その後 Rector は大型模型実験を行ない, 海浜変形は沖波波形勾配や粒径ばかりではなく波高や波長の絶対値にも影響される事を示した。また P.H. Kemp は次元解析の結果から, 平衡海浜形状には碎波波高 H_b , 碎波点から最高潮遇上までの距離 l , 砂粒子の沈降速度 w も影響する事を示した。さらに岩垣・野田は暴風海浜と正常海浜の限界には Johnson の示した沖波波形勾配のみでなく, 沖波波高と d_{50} の比 H_0/d_{50} の二つのパラメータで二つの海浜を分類した。その後 Nayak は底質の比重と沖波波高の比が重要な事である事を示した。しかし最近になって緩勾配での実験, 長時間の実験が行われ始めて, 以前の平衡形状の考え方があつた事である。

堀川・砂村は次式を提案している。

$$\frac{H_0}{L_0} = C \cdot (\tan \beta) \cdot (d/L_0)^{0.67} \quad (2)$$

ここで $C \geq 10$ では汀線が後退し(Type I), $3 \leq C \leq 10$ では汀線が後退あるいは前進し(Type II), $C \leq 3$ では汀線が前進する事(Type III)を示した。また尾崎・史田は緩勾配の実験結果と堀川・砂村, Rector, Saville の結果を再整理して次の分類を示した。

$$\begin{aligned} (H_0/L_0)^{0.96} \cdot \sqrt{H_b} \cdot d_{50}^{-1.8} \cdot \tan \beta &> 64 & \text{汀線後退, 沖ト堆積発生 (I型)} \\ (H_0/L_0)^{0.96} \cdot \sqrt{H_b} \cdot d_{50}^{-1.8} \cdot \tan \beta &< 64 & \left. \begin{array}{l} \text{汀線前進} \\ \text{冲ト堆積なし (II型)} \end{array} \right\} \end{aligned} \quad (3)$$

表 - 1

Wave	H_0 / L_0	T (sec)	H_0 (cm)	Horikawa Sunamura	Ozaki Hikita	Iwagaki Noda
A	0.040	0.97	5.88	Type II	Accretion	Bar Type
B	0.067	1.31	18.03	Type I	Erosion	Bar Type
C	0.005	2.80	6.00	Type III	Accretion	Step Type
D	0.030	1.71	13.40	Type II	Accretion	Bar Type

以上の結果を参考にし, 堀川・砂村の汀線変化, 尾崎・史田の汀線変化と共に岩垣・野田の正常海浜と暴風海浜の限界の3つを参考にして, 表-1に示す4つの種類の波を整んだ。また, 過去の研究成果から護岸の傾斜角も洗掘に影響を与える事が判っているので傾斜角 α を直立 ($\alpha = 90^\circ$), 急勾配 ($\alpha = 63.4^\circ$), 緩勾配 (33.7°) の3つとした。また護岸を設置する位置は汀線, 汀線と遇上高の中間点, 汀線と碎波点の中間点の3つとした。非最初の二つの波の実験から $\alpha = 63.4^\circ$ のやうな代りに護岸設置位置を汀線と碎波点の間の汀線より $1/4$ のところにある実験を追加した。

3. 実験結果と考察

(1) 海岸護岸近傍の海浜変形

構造物を設置しない状態での初期海底勾配 $\tan \beta = 1/30$ の海浜変形の一例を示す。これは表-1に示さないC波の場合であるが, 実験結果は堀川・砂村のまことにType IIであり, 尾崎・史田の示した Accretion の場合であり, 岩垣・野田の示した Step 型(正常海浜)となり, 表-1に示さない平衝行形状の分類がよく合っている事を示している。海岸護岸を設置した場合の護岸前面の海浜変形の実測の例を図-3～図-9に示す。

これは全て沖波波形勾配が $H_0/L_0 = 0.005$ の場合である。これらの護岸設置時 ($t = 0$ hr) の海浜形状は図-2の $t = 12$ hrs の状態である。 h_e は護岸の基脚水深であり, X は図-2の持続物を置かない状態の $t = 12$ hrs 時の汀線から護岸までの距離で,

図 - 2

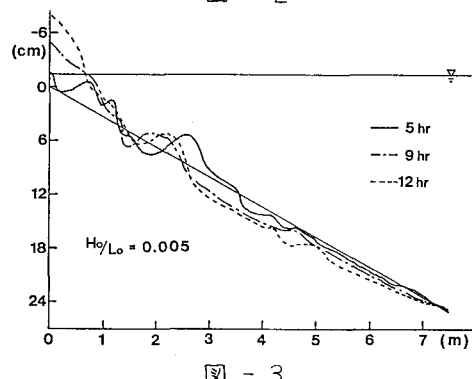
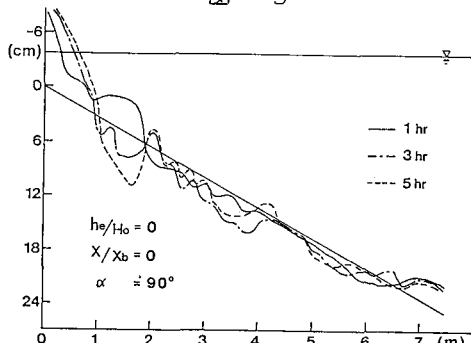


図 - 3



X_b は汀線と碎波点間の距離
で X/X_b は護岸が碎波帯内の位置にあらかじめ示してある。図-3、4、5 はいすみも護岸法面傾斜角が $\alpha = 90^\circ$

で直立の場合であるが、図-3 は汀線部、図-4 は陸上側、図-5 は汀線と碎波点の中間に護岸を設置した場合であるが、無次元堤脚水深

h_e/H_0 が大きくなり、無次元護岸設置位置 X/X_b が大きくなるにつれて、堤脚部の洗掘が起り易い事を示してある。 h_e/H_0 を示す X/X_b の符号の時は、陸上部に護岸が造られた事と意味している。

の場合で、護岸法面の傾斜角が $\alpha = 33.7^\circ$ の場合を示したものか、図-6、7、8 である。このように護岸の法面配がゆるい場合でも堤脚水深が大きくなると堤脚部の洗掘が起こりやすくなるが、 $\alpha = 90^\circ$ の場合には東交へると、洗掘量は非常に小さい事が判る。特に図-5、8、9 を比較すると、二つとも同じ設置位置 ($X/X_b = 0.50$) であるが、ほぼ同一の堤脚水深 ($h_e/H_0 = 1.17 \sim 1.67$) であるが、護岸法面角が大きくなると、護岸堤脚部が洗掘し易い事が判る。全ての実験結果を表-2 に示す。まず無次元洗掘量 $\Delta h_F/H_0$ と護岸設置位置 X/X_b の関係をまとめたものが図-10 である。 $\Delta h_F/H_0$ がマイナスの時は堆積を示し、プラスの時は洗掘を示す。図から明瞭にわかるように設置位置 X/X_b が沖側になると洗掘量が多くなり、逆に陸側に設置すると堆積、堤脚の堆積が顕著になってくる。また同一の護

図-4

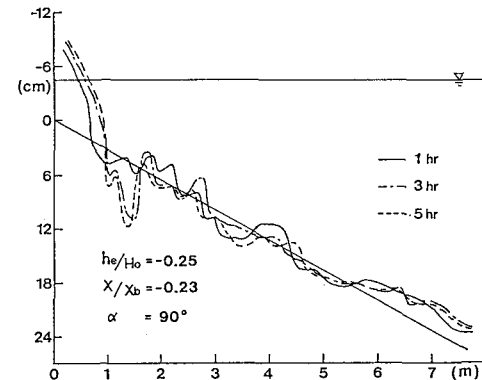


図-6

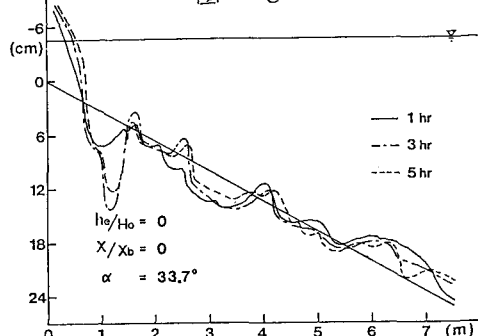


図-8

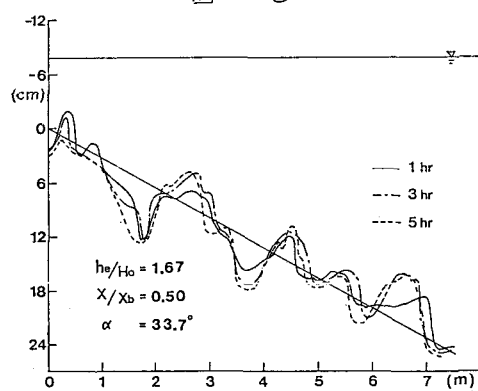


図-5

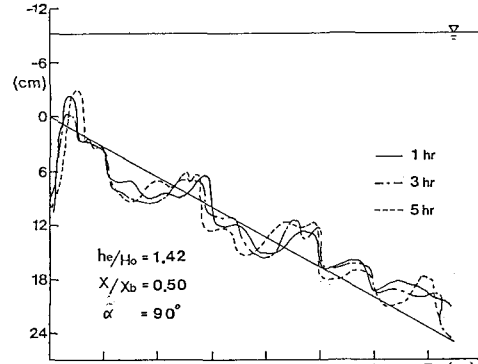


図-7

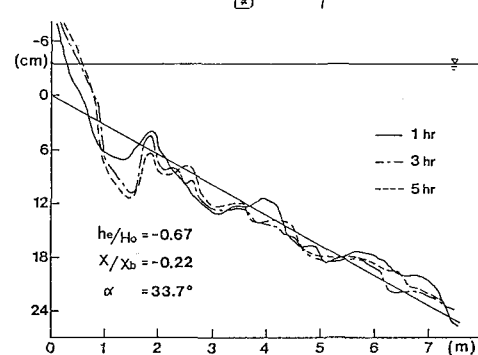
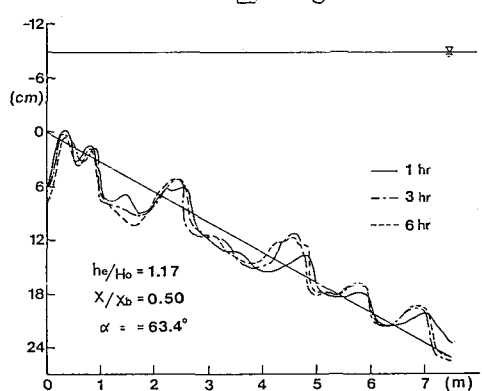


図-9



次に同じ沖波波形勾配 ($H_0/L_0 = 0.0005$)

の場合で、護岸法面の傾斜角が $\alpha = 33.7^\circ$ の場合を示したものか、図-6、7、8 である。このように護岸の法面配がゆるい場合でも堤脚水深が大きくなると堤脚部の洗掘が起こりやすくなるが、 $\alpha = 90^\circ$ の場合には東交へると、洗掘量は非常に小さい事が判る。特に図-5、8、9 を比較すると、二つとも同じ設置位置 ($X/X_b = 0.50$) であるが、ほぼ同一の堤脚水深 ($h_e/H_0 = 1.17 \sim 1.67$) であるが、護岸法面角が大きくなると、護岸堤脚部が洗掘し易い事が判る。全ての実験結果を表-2 に示す。まず無次元洗掘量 $\Delta h_F/H_0$ と護岸設置位置 X/X_b の関係をまとめたものが図-10 である。 $\Delta h_F/H_0$ がマイナスの時は堆積を示し、プラスの時は洗掘を示す。図から明瞭にわかるように設置位置 X/X_b が沖側になると洗掘量が多くなり、逆に陸側に設置すると堆積、堤脚の堆積が顕著になってくる。また同一の護

岸法面角の場合には、冲波波形勾配 H_0/L_0 が小さい程、堤脚部で堆積が起り易い事が明らかとなつたが、この通り Johnson や岩垣・野田の結果と一致している。以上の結果から、護岸の設置に当つては条件のゆる可限り、護岸法面勾配をゆるくし、かつ設置位置をできるだけ陸側にすらよろしく左方か護岸とのものの安全にどうぞい事を示していい。次に護岸前面の反射率 K を洗掘・堆積深 $\Delta h_F/H_0$ の関係を調べて石積果が図-11である。この反射率 K を求めるに当つては便宜的に Healy の方法を用いていい。図からも明らかなるように反射率 K が $K \geq 0.22$ の範囲では、護岸堤脚部で洗掘が起り、また $K < 0.22$ の範囲では、一般に堆積が起こる事を示していい。図-10, 11 から、護岸設置位置 X/X_b が大きくなると、当然堤脚水深 h_c も大きくなり、護岸前面の波も進行波から部分重複波へと移り、当然反射率 K も大きくなつていく。とくに同時に堤脚部の洗掘深も大きくなる事を示していい。ただ、どの時護岸法面角がゆるくなると、その反射率 K が低減するため、洗掘量も減る事ができる。次に、護岸前面の洗掘に関する実験結果をまとめてある図-12 に示す。 l は護岸を置かない場合の波の逆上点から護岸設置位置までの距離を表し、逆上高を R とする時、 l は $l = R \cos \beta + X$ で計算される。R は逆上に関する実験結果から求めめてよい。図-12より、反射率 K が大きい程、また $(H_0/L_0) \cdot (l/d_{so}) \cdot \sin \alpha$ が大きい程、堤脚部の洗掘が起り易い事が示していい。このハーフスターは、 (H_0/L_0) , l , $\sin \alpha$ が大きくなる程、洗掘量が多くなるといふ。上述した結果に基づいて深い小丘ものである。また粒径は大きい程、当然の事ながら洗掘しにく事が岩垣・野田の結果で示されていいとかく分母に入れる。さて図中に破線付の矢印が入ってあるが、この(a)は図-2のRun 3の結果であるが、この場合堤脚部の洗掘が起らなかった、堤脚部に疊形ブロックを乱積したところ反射率 K が最初 $K=0.32$ であったのがブロック投入後は $K=0.16$ と減少したため、堤脚部にはほとんど洗掘して形跡跡はみられない。また同図における(b)

表 - 2

Run No.	H_0 / L_0	T (sec)	α	Δh_F (cm)	X / X_b	l (cm)	H_b (cm)	K
1	0.040	0.97	90	0	0	20.0	7.3	0.21
2			-1.0	+0.50	-0.23	11.3	6.4	0.20
3			+1.9	+0.50	0	40.5	-	0.25
4			63.4	-2.0	0	22.2	5.8	0.17
5			-2.5	+0.50	-0.40	12.5	6.6	0.10
6			+1.0	+0.50	0	44.3	5.6	0.25
7			33.7	-3.0	0	20.1	5.8	0.21
8			-4.0	+0.50	-0.25	9.8	6.2	0.16
9			0	+0.50	0	53.3	6.6	0.32
10	0.067	1.31	90	+0.8	0	32.5	33.0	0.13
11			-6.0	+0.25	0	141.0	24.0	0.14
12			+4.0	+0.50	0	258.0	25.6	0.30
13			+9.0	+0.78	0	420.0	-	0.51
14			63.4	+0.7	0	31.3	25.0	0.16
15			-7.9	+0.25	0	160.0	29.0	0.12
16			+7.5	+0.50	0	280.0	31.0	0.24
17			33.7	-4.3	0	35.8	25.0	0.14
18			-4.0	+0.25	0	145.0	30.0	0.10
19			+4.0	+0.50	0	275.0	31.0	0.20
20	0.005	2.80	90	-14.0	0	50.3	14.6	0.14
21			-7.3	-0.23	0	26.2	14.4	0.17
22			+9.5	+0.50	0	175.0	25.0	0.25
23			63.4	+8.0	+0.50	175.0	12.0	0.28
24			33.7	-6.5	0	51.1	14.6	0.22
25			-7.0	-0.22	0	24.3	13.8	0.19
26			+1.0	+0.50	0	170.0	10.8	0.37
27	0.030	1.71	90	-3.5	0	40.1	17.5	0.16
28			+2.1	-0.05	0	21.2	18.5	0.17
29			+1.0	+0.25	0	220.0	20.7	0.35
30			+3.5	+0.50	0	430.0	33.7	0.41
31			33.7	-5.0	0	40.4	18.2	0.20
32			+2.0	+0.25	0	245.0	23.0	0.48
33			+4.0	+0.50	0	410.0	-	0.48

と同時に堤脚部の洗掘深も大きくなる事を示していい。ただ、どの時護岸法面角がゆるくなると、その反射率 K が低減するため、洗掘量も減る事ができる。次に、護岸前面の洗掘に関する実験結果をまとめてある図-12 に示す。 l は護岸を置かない場合の波の逆上点から護岸設置位置までの距離を表し、逆上高を R とする時、 l は $l = R \cos \beta + X$ で計算される。 R は逆上に関する実験結果から求めめてよい。図-12より、反射率 K が大きい程、また $(H_0/L_0) \cdot (l/d_{so}) \cdot \sin \alpha$ が大きい程、堤脚部の洗掘が起り易い事が示していい。このハーフスターは、 (H_0/L_0) , l , $\sin \alpha$ が大きくなる程、洗掘量が多くなるといふ。上述した結果に基づいて深い小丘ものである。また粒径は大きい程、当然の事ながら洗掘しにく事が岩垣・野田の結果で示されていいとかく分母に入れる。さて図中に破線付の矢印が入ってあるが、この(a)は図-2のRun 3の結果であるが、この場合堤脚部の洗掘が起らなかった、堤脚部に疊形ブロックを乱積したところ反射率 K が最初 $K=0.32$ であったのがブロック投入後は $K=0.16$ と減少したため、堤脚部にはほとんど洗掘して形跡跡はみられない。

図 - 11

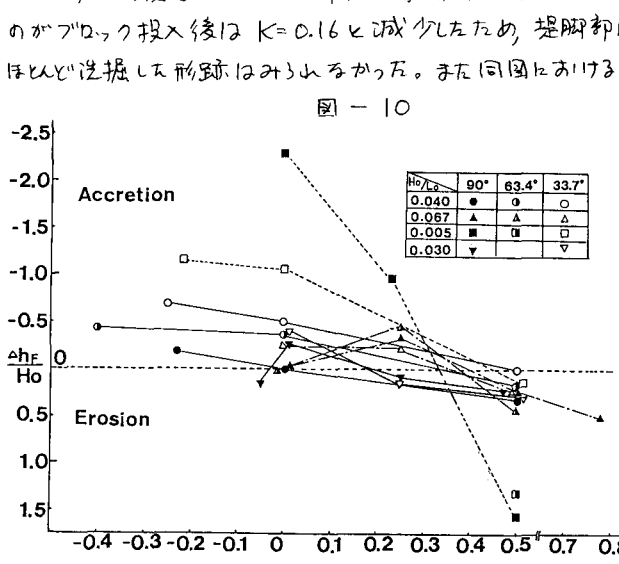


図 - 10

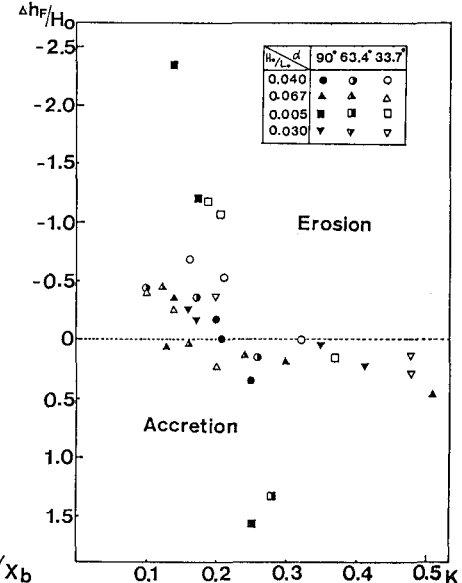


図 - 12

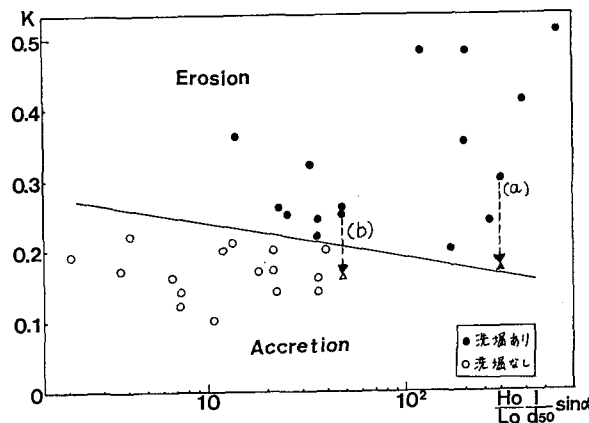


図 - 13

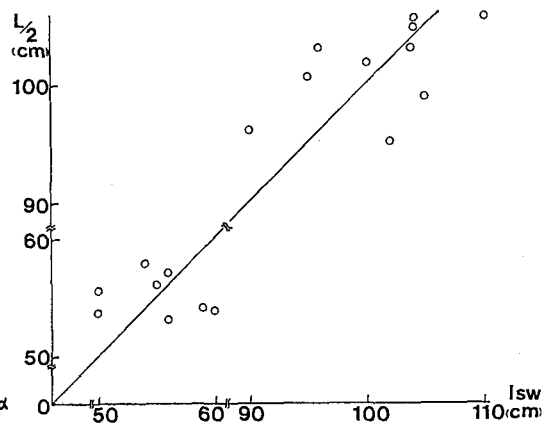


図 - 14

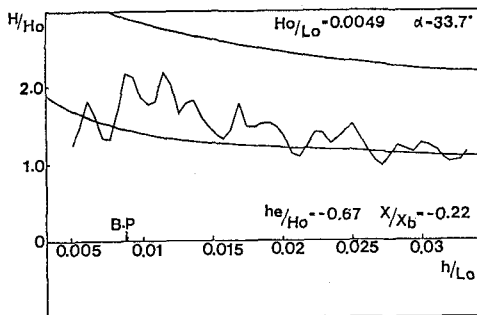


図 - 15

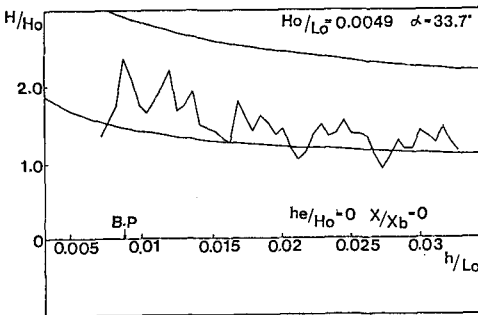


図 - 16

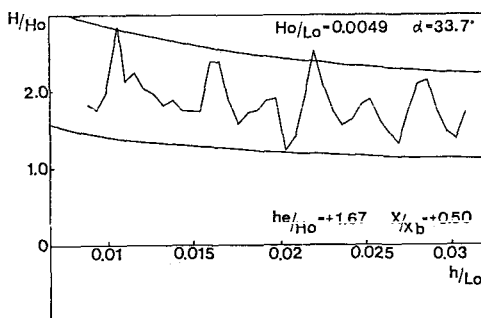
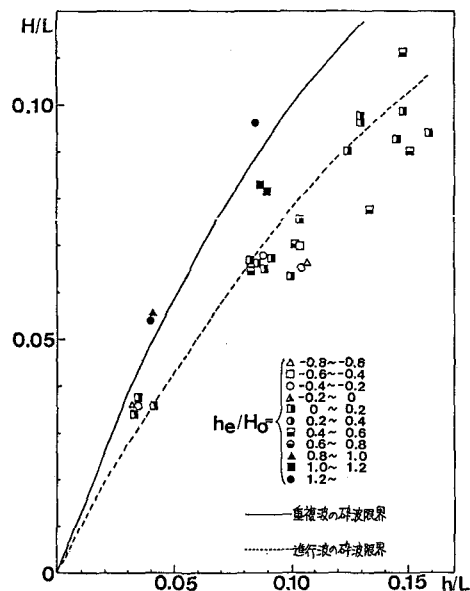


図 - 17



は、異形ブロック設置前は反射率が $K = 0.252$ 、堤脚部がかり洋揚したがブロック投入後は $K = 0.17$ まで下がり、そのため堤脚部に堆積が起つた事も示している。この図-12は、護岸前面が堆積するか洋揚されるかの判定をするための図であるが、もし、メモ小さくしたり、護岸前面に異形ブロック等を投入する事により、反射率を低下させるとにより、元来は堤脚部が洋揚するような条件の

場合でも逆に堆積させる事も可能となる事が明らかとなった。また、この実験を通して、護岸前面の海面変動は激しく、洋揚・堆積は短時間で急速に起つ事も明かかとなったので、実際の海岸整備や護岸の設計に当たるは、平均水面（設計潮位）をどこに設定するか非常に重要な事である。一般的潮位は港内

で測定されるのが、海岸の場合には沿波による Wave Set up 等の影響も3度に受けるので、平均水位の設定には充分は適せねばならない。また護岸を置いた場合の海浜地形の形状をみると、部分重複波の節と Sand Wave の山が形成された。重複波においては、波の腹の位置では上下方向のみの水粒子の運動、節の位置では水平方向のみの水粒子運動を行なう。これ故に、腹の位置は Sand Wave の山ができるはずであるが、野田の重複波境界層内の質量輸送速度の理論計算によると、腹から節へ向う流れが卓越する事が明らかにされているので、この理論によると本実験の結果にも現れかねない。護岸の設置位置 $X/X_b \geq 0.25$ の場合の波の波長 λ_{sw} と Sand Wave の波長 λ_{sw} の関係を示す結果の一例が図-13である。図から明らかなように、 λ_{sw} と λ は良い一致を示している。この事実は、 $X/X_b \geq 0.25$ の範囲に護岸を設置したときに前面の波は部分重複波になつて来る事を示している。

(2) 護岸近傍の波の変形

図-14, 15, 16 は冲波波形勾配 $H_0/L_0 = 0.005$ 、護岸法面勾配 $\alpha = 33.7^\circ$ の場合の波高の変化を示したものである。 h_e は堤脚水深であり、 h_e/H_0 カーブは陸上部に護岸がある事を示している。図中の下側の実線は線形波動理論に基づく波高変化的理論曲線であり、上側の実線はそれを2倍したもので、線形重複波理論による腹部波高の包絡線である。図-14, 15 に示すように護岸設置位置が汀線とそれより陸側の場合には、碎波点近傍を除いては線形波動の波高変化にはほぼ一致している。碎波点近くでは理論より大きい値を示しているが、これは固定床によくある全断面上の波の変形に非常に近いが、図-16 に示す $X/X_b = 0.50$ の場合には、堤脚水深も $h_e/H_0 = 1.67$ と大きいため、波の重複波は近乎状態となり、線形重複波の理論波高に近い値を示している。また、この時にも護岸前面では大きな洗掘が起こっている。つまり波が重複波に近くなると護岸前面の洗掘量は大きくなる、次に図-17 に本実験から得られた碎波限界を示す。図中の実線は重複波理論の碎波限界であり、破綻は進行波の理論碎波限界である。同図より明らかにわかるように、 $h_e/H_0 > 0.4 \sim 0.6$ の範囲では碎波限界は重複波の場合に近くなり、このような場合には、反射率も大きく、また護岸前面の洗掘も激しくなる。

あとがき

本研究の実験に当り、北大工学部の小川敏行氏に多大の助力を得たし、データの整理等に当った北大工学部学生、須藤暢宏、押川定生の両君のお世話を頂いた。記して深甚なる謝意を表する。

参考文献

1. 水理公式集、土木学会編
2. Iwagaki, Y. and H. Noda: Laboratory study of scale effects in two dimensional beach process, proc. 8th Conf. on Coastal Eng., 1963
3. Rector, R. L.: Laboratory study of equilibrium profile of beaches, BEB Tech. Memo. No. 41, 1954.
4. 横木亨、川崎芳一：海岸堤防堤脚部の洗掘について、京大防災研年報第4号、1960
5. 佐藤昭二、田中則男、入江功：直立壁堤脚部の波による二次元洗掘実験、第13回海岸工学講演会論文集、1966
6. 横木亨：海岸堤防基部の洗掘機構に関する研究(その1)、第14回海岸工学講演会論文集、1967
7. 野田英明、岩佐敏博：海岸堤防堤脚部の洗掘(その2)の研究、第19回海岸工学講演会論文集、1972
8. 野田英明、川島康宏：浅海重複波による質量輸送、第15回海岸工学講演会論文集、1968
9. 佐伯浩：海岸構造物近傍の波の変形、第19回水工学に関する夏季研修会講義集B2-2、1981
10. 尾崎里：砂波欠陥防止工法との適用性に関する研究(その1)自然災害特別研究成果報告、1983